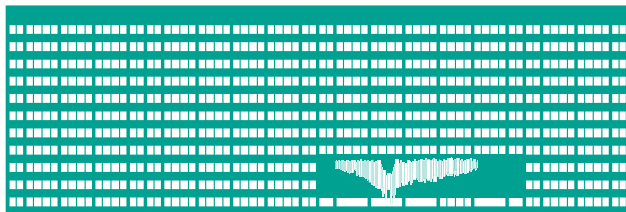


VŠB TECHNICKÁ  
UNIVERZITA  
OSTRAVA

VSB TECHNICAL  
UNIVERSITY  
OF OSTRAVA



[www.vsb.cz](http://www.vsb.cz)

# Základy kvantového počítání

Marek Lampart

VŠB – Technická Univerzita Ostrava

marek.lampart@vsb.cz

18. ledna, 2023

VŠB  
UNIVERZITA  
OSTRAVA

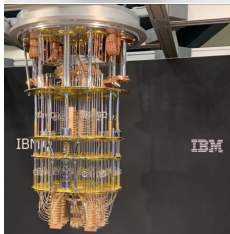


TECHNICKÁ  
UNIVERZITA  
OSTRAVA

FAKULTA  
ELEKTROTECHNIKY  
A INFORMATIKY

KATEDRA  
APLIKOVANÉ  
MATEMATIKY





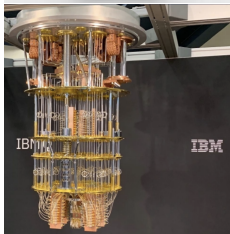
## ■ Kvantový počítač

- teoretický model zařízení vykonávající výpočty
- využívá fenomény kvantové mechaniky: **superpozice**, **interference**

## ■ Kvantové počítání

- v klasickém počítači data reprezentujeme **bity** (0, 1)
- v kvantovém počítači se používáme **qubity** (kvantové bity), které mohou být nula, jedna, nebo i kombinace obou





## ■ Kvantový počítač

- teoretický model zařízení vykonávající výpočty
- využívá fenomény kvantové mechaniky: **superpozice**, **interference**

## ■ Kvantové počítání

- v klasickém počítači data reprezentujeme **bity** (0, 1)
- v kvantovém počítači se používáme **qubity** (kvantové bity), které mohou být nula, jedna, nebo i kombinace obou





- Kvantový počítač byl poprvé navržen v roce 1981 laureátem Nobelovy ceny Richardem Feynmanem.
- Průlomovým algoritmem v kvantovém počítání byla publikace P. Shora z roku 1994 o kvantovém algoritmu pro provádění prvočíselného rozkladu celých čísel v podstatě v polynomiálním čase.
- *Kvantové počítání* (teorie) je průsečíkem matematiky, fyziky a informatiky.



- Kvantový počítač byl poprvé navržen v roce 1981 laureátem Nobelovy ceny Richardem Feynmanem.
- Průlomovým algoritmem v kvantovém počítání byla publikace P. Shora z roku 1994 o kvantovém algoritmu pro provádění prvočíselného rozkladu celých čísel v podstatě v polynomiálním čase.
- *Kvantové počítání* (teorie) je průsečíkem matematiky, fyziky a informatiky.



- Kvantový počítač byl poprvé navržen v roce 1981 laureátem Nobelovy ceny Richardem Feynmanem.
- Průlomovým algoritmem v kvantovém počítání byla publikace P. Shora z roku 1994 o kvantovém algoritmu pro provádění prvočíselného rozkladu celých čísel v podstatě v polynomiálním čase.
- *Kvantové počítání* (teorie) je průsečíkem matematiky, fyziky a informatiky.





- Kvantový počítač byl poprvé navržen v roce 1981 laureátem Nobelovy ceny Richardem Feynmanem.
- Průlomovým algoritmem v kvantovém počítání byla publikace P. Shora z roku 1994 o kvantovém algoritmu pro provádění prvočíselného rozkladu celých čísel v podstatě v polynomiálním čase.
- *Kvantové počítání* (teorie) je průsečíkem matematiky, fyziky a informatiky.



- Kvantový počítač byl poprvé navržen v roce 1981 laureátem Nobelovy ceny Richardem Feynmanem.
- Průlomovým algoritmem v kvantovém počítání byla publikace P. Shora z roku 1994 o kvantovém algoritmu pro provádění prvočíselného rozkladu celých čísel v podstatě v polynomiálním čase.
- *Kvantové počítání* (teorie) je průsečíkem matematiky, fyziky a informatiky.



- Kryptografie
- Prohledávání
- Simulace kvantových systémů
- Strojové učení
- Výpočetní biologie
- **Kvantová chemie**
- Počítačem podporovaný návrh léčiv a generativní chemie
- **Optimalizační úlohy**



- Kryptografie
- Prohledávání
- Simulace kvantových systémů
- Strojové učení
- Výpočetní biologie
- **Kvantová chemie**
- Počítačem podporovaný návrh léčiv a generativní chemie
- **Optimalizační úlohy**



- Kryptografie
- Prohledávání
- Simulace kvantových systémů
- Strojové učení
- Výpočetní biologie
- **Kvantová chemie**
- Počítačem podporovaný návrh léčiv a generativní chemie
- **Optimalizační úlohy**



- Kryptografie
- Prohledávání
- Simulace kvantových systémů
- Strojové učení
- Výpočetní biologie
- **Kvantová chemie**
- Počítačem podporovaný návrh léčiv a generativní chemie
- **Optimalizační úlohy**



- Kryptografie
- Prohledávání
- Simulace kvantových systémů
- Strojové učení
- Výpočetní biologie
- **Kvantová chemie**
- Počítačem podporovaný návrh léčiv a generativní chemie
- **Optimalizační úlohy**



- Kryptografie
- Prohledávání
- Simulace kvantových systémů
- Strojové učení
- Výpočetní biologie
- **Kvantová chemie**
- Počítačem podporovaný návrh léčiv a generativní chemie
- **Optimalizační úlohy**





- Kryptografie
- Prohledávání
- Simulace kvantových systémů
- Strojové učení
- Výpočetní biologie
- **Kvantová chemie**
  - Počítačem podporovaný návrh léčiv a generativní chemie
  - **Optimalizační úlohy**



- Kryptografie
- Prohledávání
- Simulace kvantových systémů
- Strojové učení
- Výpočetní biologie
- **Kvantová chemie**
- Počítačem podporovaný návrh léčiv a generativní chemie
- Optimalizační úlohy



- Kryptografie
- Prohledávání
- Simulace kvantových systémů
- Strojové učení
- Výpočetní biologie
- **Kvantová chemie**
- Počítačem podporovaný návrh léčiv a generativní chemie
- **Optimalizační úlohy**



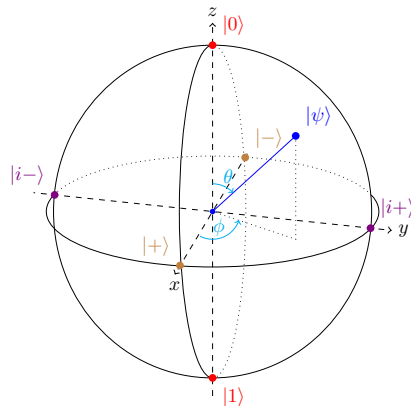
*Kvantový bit* (zkráceně *qubit*) je dvoudimenzionální kvantově mechanický systém, který je ve stavu

$$|\psi\rangle = \alpha |0\rangle + \beta |1\rangle,$$

kde  $\alpha$  i  $\beta$  jsou komplexní čísla, což jsou *amplitudy* kvantových stavů  $|0\rangle$  resp.  $|1\rangle$ , platí  $|\alpha|^2 + |\beta|^2 = 1$ .

V této definici se užívá standardní *bra-ketová* notace, tady označuje

$$|0\rangle = \begin{pmatrix} 1 \\ 0 \end{pmatrix} \quad \text{a} \quad |1\rangle = \begin{pmatrix} 0 \\ 1 \end{pmatrix}.$$





## Kvantový registr

- zahrnuje více qubitů najednou,
- kvantový registr je tedy analogie klasického procesorového registru a kvantové počítače provádějí výpočty pomocí manipulací qubitů v rámci daného registru,
- každý qubit  $|\psi\rangle$  v registru je superpozicí  $\alpha|0\rangle + \beta|1\rangle$  prvků výpočetní báze  $|0\rangle$  a  $|1\rangle$ ,
- registr s  $n$  qubity je superpozicí všech možných  $2^n$  bitových řetězců, které mohou být reprezentovány  $n$  bity,
- stavový prostor  $n$  kvantového registru je lineární kombinací  $n$  báзовých vektorů délky  $2^n$

$$|\psi_n\rangle = \sum_{i=0}^{2^n-1} \alpha_i |i\rangle \quad (1)$$

kde  $i$  je celé číslo v desítkové soustavě reprezentující číslo délky  $n$  ve dvojkové soustavě.



## Kvantový registr

- zahrnuje více qubitů najednou,
- kvantový registr je tedy analogie klasického procesorového registru a kvantové počítače provádějí výpočty pomocí manipulací qubitů v rámci daného registru,
- každý qubit  $|\psi\rangle$  v registru je superpozicí  $\alpha|0\rangle + \beta|1\rangle$  prvků výpočetní báze  $|0\rangle$  a  $|1\rangle$ ,
- registr s  $n$  qubity je superpozicí všech možných  $2^n$  bitových řetězců, které mohou být reprezentovány  $n$  bity,
- stavový prostor  $n$  kvantového registru je lineární kombinací  $n$  bázových vektorů délky  $2^n$

$$|\psi_n\rangle = \sum_{i=0}^{2^n-1} \alpha_i |i\rangle \quad (1)$$

kde  $i$  je celé číslo v desítkové soustavě reprezentující číslo délky  $n$  ve dvojkové soustavě.



## Kvantový registr

- zahrnuje více qubitů najednou,
- kvantový registr je tedy analogie klasického procesorového registru a kvantové počítače provádějí výpočty pomocí manipulací qubitů v rámci daného registru,
- každý qubit  $|\psi\rangle$  v registru je superpozicí  $\alpha|0\rangle + \beta|1\rangle$  prvků výpočetní báze  $|0\rangle$  a  $|1\rangle$ ,
- registr s  $n$  qubity je superpozicí všech možných  $2^n$  bitových řetězců, které mohou být reprezentovány  $n$  bity,
- stavový prostor  $n$  kvantového registru je lineární kombinací  $n$  báзовých vektorů délky  $2^n$

$$|\psi_n\rangle = \sum_{i=0}^{2^n-1} \alpha_i |i\rangle \quad (1)$$

kde  $i$  je celé číslo v desítkové soustavě reprezentující číslo délky  $n$  ve dvojkové soustavě.



## Kvantový registr

- zahrnuje více qubitů najednou,
- kvantový registr je tedy analogie klasického procesorového registru a kvantové počítače provádějí výpočty pomocí manipulací qubitů v rámci daného registru,
- každý qubit  $|\psi\rangle$  v registru je superpozicí  $\alpha|0\rangle + \beta|1\rangle$  prvků výpočetní báze  $|0\rangle$  a  $|1\rangle$ ,
- registr s  $n$  qubity je superpozicí všech možných  $2^n$  bitových řetězců, které mohou být reprezentovány  $n$  bity,
- stavový prostor  $n$  kvantového registru je lineární kombinací  $n$  básových vektorů délky  $2^n$

$$|\psi_n\rangle = \sum_{i=0}^{2^n-1} \alpha_i |i\rangle \quad (1)$$

kde  $i$  je celé číslo v desítkové soustavě reprezentující číslo délky  $n$  ve dvojkové soustavě.





## Kvantový registr

- zahrnuje více qubitů najednou,
- kvantový registr je tedy analogie klasického procesorového registru a kvantové počítače provádějí výpočty pomocí manipulací qubitů v rámci daného registru,
- každý qubit  $|\psi\rangle$  v registru je superpozicí  $\alpha|0\rangle + \beta|1\rangle$  prvků výpočetní báze  $|0\rangle$  a  $|1\rangle$ ,
- registr s  $n$  qubity je superpozicí všech možných  $2^n$  bitových řetězců, které mohou být reprezentovány  $n$  bity,
- stavový prostor  $n$  kvantového registru je lineární kombinací  $n$  báзовých vektorů délky  $2^n$

$$|\psi_n\rangle = \sum_{i=0}^{2^n-1} \alpha_i |i\rangle \quad (1)$$

kde  $i$  je celé číslo v desítkové soustavě reprezentující číslo délky  $n$  ve dvojkové soustavě.



## Kvantový registr

- zahrnuje více qubitů najednou,
- kvantový registr je tedy analogie klasického procesorového registru a kvantové počítače provádějí výpočty pomocí manipulací qubitů v rámci daného registru,
- každý qubit  $|\psi\rangle$  v registru je superpozicí  $\alpha|0\rangle + \beta|1\rangle$  prvků výpočetní báze  $|0\rangle$  a  $|1\rangle$ ,
- registr s  $n$  qubity je superpozicí všech možných  $2^n$  bitových řetězců, které mohou být reprezentovány  $n$  bity,
- stavový prostor  $n$  kvantového registru je lineární kombinací  $n$  báзовých vektorů délky  $2^n$

$$|\psi_n\rangle = \sum_{i=0}^{2^n-1} \alpha_i |i\rangle \quad (1)$$

kde  $i$  je celé číslo v desítkové soustavě reprezentující číslo délky  $n$  ve dvojkové soustavě.



- Pro (1) platí normalizační podmínka pro jednotlivé amplitudy pravděpodobností:

$$\sum_{i=0}^{2^n-1} |\alpha_i|^2 = 1. \quad (2)$$

- Logicky, součet pravděpodobností všech možných stavů musí být 1, protože žádný jiný stav nastat nemůže a zároveň se jednotlivé stavy navzájem vylučují.
- Kvantové registry jsou přímým rozšířením qubitů.



- Pro (1) platí normalizační podmínka pro jednotlivé amplitudy pravděpodobností:

$$\sum_{i=0}^{2^n-1} |\alpha_i|^2 = 1. \quad (2)$$

- Logicky, součet pravděpodobností všech možných stavů musí být 1, protože žádný jiný stav nastat nemůže a zároveň se jednotlivé stavy navzájem vylučují.
- Kvantové registry jsou přímým rozšířením qubitů.



- Pro (1) platí normalizační podmínka pro jednotlivé amplitudy pravděpodobností:

$$\sum_{i=0}^{2^n-1} |\alpha_i|^2 = 1. \quad (2)$$

- Logicky, součet pravděpodobností všech možných stavů musí být 1, protože žádný jiný stav nastat nemůže a zároveň se jednotlivé stavy navzájem vylučují.
- Kvantové registry jsou přímým rozšířením qubitů.



- Každá bitová konfigurace v kvantové superpozici je označena jako tenzorový součin jednotlivých qubitů.
- Například  $|010\rangle$ , která reprezentuje v bitovém řetězci číslo 2, má tvar:

$$|010\rangle = |0\rangle \otimes |1\rangle \otimes |0\rangle = \begin{pmatrix} 1 \\ 0 \end{pmatrix} \otimes \begin{pmatrix} 0 \\ 1 \end{pmatrix} \otimes \begin{pmatrix} 1 \\ 0 \end{pmatrix} = (00100000)^T.$$

$$\begin{pmatrix} 1 \\ 0 \end{pmatrix} \otimes \begin{pmatrix} 0 \\ 1 \end{pmatrix} = \begin{pmatrix} 0 \\ 1 \\ 0 \\ 0 \end{pmatrix}.$$



- Každá bitová konfigurace v kvantové superpozici je označena jako tenzorový součin jednotlivých qubitů.
- Například  $|010\rangle$ , která reprezentuje v bitovém řetězci číslo 2, má tvar:

$$|010\rangle = |0\rangle \otimes |1\rangle \otimes |0\rangle = \begin{pmatrix} 1 \\ 0 \end{pmatrix} \otimes \begin{pmatrix} 0 \\ 1 \end{pmatrix} \otimes \begin{pmatrix} 1 \\ 0 \end{pmatrix} = (00100000)^T.$$

$$\begin{pmatrix} 1 \\ 0 \end{pmatrix} \otimes \begin{pmatrix} 0 \\ 1 \end{pmatrix} = \begin{pmatrix} 0 \\ 1 \\ 0 \\ 0 \end{pmatrix}.$$



- Každá bitová konfigurace v kvantové superpozici je označena jako tenzorový součin jednotlivých qubitů.
- Například  $|010\rangle$ , která reprezentuje v bitovém řetězci číslo 2, má tvar:

$$|010\rangle = |0\rangle \otimes |1\rangle \otimes |0\rangle = \begin{pmatrix} 1 \\ 0 \end{pmatrix} \otimes \begin{pmatrix} 0 \\ 1 \end{pmatrix} \otimes \begin{pmatrix} 1 \\ 0 \end{pmatrix} = (00100000)^T.$$

$$\begin{pmatrix} 1 \\ 0 \end{pmatrix} \otimes \begin{pmatrix} 0 \\ 1 \end{pmatrix} = \begin{pmatrix} 0 \\ 1 \\ 0 \\ 0 \end{pmatrix}.$$





- Každá bitová konfigurace v kvantové superpozici je označena jako tenzorový součin jednotlivých qubitů.
- Například  $|010\rangle$ , která reprezentuje v bitovém řetězci číslo 2, má tvar:

$$|010\rangle = |0\rangle \otimes |1\rangle \otimes |0\rangle = \begin{pmatrix} 1 \\ 0 \end{pmatrix} \otimes \begin{pmatrix} 0 \\ 1 \end{pmatrix} \otimes \begin{pmatrix} 1 \\ 0 \end{pmatrix} = (00100000)^T.$$

$$\begin{pmatrix} 1 \\ 0 \end{pmatrix} \otimes \begin{pmatrix} 0 \\ 1 \end{pmatrix} = \begin{pmatrix} 0 \\ 1 \\ 0 \\ 0 \end{pmatrix}.$$



- Připomeňme, že  $\otimes$  značí operaci *tenzorového součinu* definovaného pro dva vektory  $|u\rangle$  a  $|v\rangle$  dimenze  $m$  resp.  $n$  následujícím způsobem

$$\begin{aligned}
 |u\rangle |v\rangle = |uv\rangle &= |u\rangle \otimes |v\rangle = \begin{pmatrix} u_1 \\ u_2 \\ \vdots \\ u_m \end{pmatrix} \otimes \begin{pmatrix} v_1 \\ v_2 \\ \vdots \\ v_n \end{pmatrix} = \begin{pmatrix} u_1 v_1 \\ u_2 v_1 \\ \vdots \\ u_m v_1 \\ u_1 v_2 \\ u_2 v_2 \\ \vdots \\ u_m v_2 \\ \vdots \\ u_1 v_n \\ u_2 v_n \\ \vdots \\ u_m v_n \end{pmatrix} = \\
 &= (u_1 v_1 \ u_1 v_2 \ \dots \ u_1 v_n \ u_2 v_1 \ u_2 v_2 \ \dots \ u_2 v_n \ \dots \ u_m v_1 \ u_m v_2 \ \dots \ u_m v_n)^T
 \end{aligned}$$

- Výsledný vektor  $|uv\rangle$  je tedy dimenze  $mn$ .
- Tenzorový součin je distributivní i asociativní, ale obecně není komutativní.



- Připomeňme, že  $\otimes$  značí operaci *tenzorového součinu* definovaného pro dva vektory  $|u\rangle$  a  $|v\rangle$  dimenze  $m$  resp.  $n$  následujícím způsobem

$$\begin{aligned}
 |u\rangle |v\rangle = |uv\rangle &= |u\rangle \otimes |v\rangle = \begin{pmatrix} u_1 \\ u_2 \\ \vdots \\ u_m \end{pmatrix} \otimes \begin{pmatrix} v_1 \\ v_2 \\ \vdots \\ v_n \end{pmatrix} = \begin{pmatrix} u_1 v \\ u_2 v \\ \vdots \\ u_m v \end{pmatrix} = \\
 &= (u_1 v_1 \ u_1 v_2 \ \dots \ u_1 v_n \ u_2 v_1 \ u_2 v_2 \ \dots \ u_2 v_n \ \dots \ u_m v_1 \ u_m v_2 \ \dots \ u_m v_n)^T
 \end{aligned}$$

- Výsledný vektor  $|uv\rangle$  je tedy dimenze  $mn$ .
- Tenzorový součin je distributivní i asociativní, ale obecně není komutativní.



- Připomeňme, že  $\otimes$  značí operaci *tenzorového součinu* definovaného pro dva vektory  $|u\rangle$  a  $|v\rangle$  dimenze  $m$  resp.  $n$  následujícím způsobem

$$\begin{aligned}
 |u\rangle |v\rangle = |uv\rangle &= |u\rangle \otimes |v\rangle = \begin{pmatrix} u_1 \\ u_2 \\ \vdots \\ u_m \end{pmatrix} \otimes \begin{pmatrix} v_1 \\ v_2 \\ \vdots \\ v_n \end{pmatrix} = \begin{pmatrix} u_1 v_1 \\ u_2 v_1 \\ \vdots \\ u_m v_1 \\ u_1 v_2 \\ u_2 v_2 \\ \vdots \\ u_m v_2 \\ \vdots \\ u_1 v_n \\ u_2 v_n \\ \vdots \\ u_m v_n \end{pmatrix} = \\
 &= (u_1 v_1 \ u_1 v_2 \ \dots \ u_1 v_n \ u_2 v_1 \ u_2 v_2 \ \dots \ u_2 v_n \ \dots \ u_m v_1 \ u_m v_2 \ \dots \ u_m v_n)^T
 \end{aligned}$$

- Výsledný vektor  $|uv\rangle$  je tedy dimenze  $mn$ .
- Tenzorový součin je distributivní i asociativní, ale obecně není komutativní.



- Připomeňme, že  $\otimes$  značí operaci *tenzorového součinu* definovaného pro dva vektory  $|u\rangle$  a  $|v\rangle$  dimenze  $m$  resp.  $n$  následujícím způsobem

$$\begin{aligned}
 |u\rangle |v\rangle = |uv\rangle &= |u\rangle \otimes |v\rangle = \begin{pmatrix} u_1 \\ u_2 \\ \vdots \\ u_m \end{pmatrix} \otimes \begin{pmatrix} v_1 \\ v_2 \\ \vdots \\ v_n \end{pmatrix} = \begin{pmatrix} u_1 v_1 \\ u_1 v_2 \\ \vdots \\ u_1 v_n \\ u_2 v_1 \\ u_2 v_2 \\ \vdots \\ u_2 v_n \\ \vdots \\ u_m v_1 \\ u_m v_2 \\ \vdots \\ u_m v_n \end{pmatrix} = \\
 &= (u_1 v_1 \ u_1 v_2 \ \dots \ u_1 v_n \ u_2 v_1 \ u_2 v_2 \ \dots \ u_2 v_n \ \dots \ u_m v_1 \ u_m v_2 \ \dots \ u_m v_n)^T
 \end{aligned}$$

- Výsledný vektor  $|uv\rangle$  je tedy dimenze  $mn$ .
- Tenzorový součin je distributivní i asociativní, ale obecně není komutativní.



Například tři qubitový registr má tvar

$$|\psi_3\rangle = \alpha_0 |000\rangle + \alpha_1 |001\rangle + \alpha_2 |010\rangle + \alpha_3 |011\rangle + \alpha_4 |100\rangle + \alpha_5 |101\rangle + \alpha_6 |110\rangle + \alpha_7 |111\rangle \quad (3)$$



- Klasické logické brány jsou matematicky popsány pomocí Booleovské algebry. Kvantové logické brány fungují na podobném principu.
- Kvantové logické brány aplikované na kvantové registry zobrazují kvantovou superpozici na jinou a společně umožňují vývoj systému do nějakého požadovaného konečného stavu, správné odpovědi.
- Kvantové logické brány jsou matematicky reprezentovány pomocí transformací matic (lineárních operací) aplikovaných na kvantový registr tenzorováním transformačních matic maticí reprezentující daný registr.
- Všechny matice odpovídající kvantové logické bráně jsou *unitární*<sup>1</sup>.
- Unitární transformace prováděné na jednom qbitu mohou být efektivně vizualizovány na Blochově sféře.
- Tak jako v případě klasických logických bran je i v případě kvantových logických bran zavedena standardní množina používaných bran.

---

<sup>1</sup>Komplexní matice  $U$  je *unitární* právě tehdy, když  $U^{-1} = U^\dagger$ , kde  $U^\dagger$  je matice konjugovaná k matici  $U$  ( $U^\dagger = \overline{U}^T$ ). Navíc platí  $UU^\dagger = U^\dagger U = I$ .



- Klasické logické brány jsou matematicky popsány pomocí Booleovské algebry. Kvantové logické brány fungují na podobném principu.
- Kvantové logické brány aplikované na kvantové registry zobrazují kvantovou superpozici na jinou a společně umožňují vývoj systému do nějakého požadovaného konečného stavu, správné odpovědi.
- Kvantové logické brány jsou matematicky reprezentovány pomocí transformací matic (lineárních operací) aplikovaných na kvantový registr tenzorováním transformačních matic maticí reprezentující daný registr.
- Všechny matice odpovídající kvantové logické bráně jsou *unitární*<sup>1</sup>.
- Unitární transformace prováděné na jednom qbitu mohou být efektivně vizualizovány na Blochově sféře.
- Tak jako v případě klasických logických bran je i v případě kvantových logických bran zavedena standardní množina používaných bran.

---

<sup>1</sup>Komplexní matice  $U$  je *unitární* právě tehdy, když  $U^{-1} = U^\dagger$ , kde  $U^\dagger$  je matice konjugovaná k matici  $U$  ( $U^\dagger = \overline{U}^T$ ). Navíc platí  $UU^\dagger = U^\dagger U = I$ .





- Klasické logické brány jsou matematicky popsány pomocí Booleovské algebry. Kvantové logické brány fungují na podobném principu.
- Kvantové logické brány aplikované na kvantové registry zobrazují kvantovou superpozici na jinou a společně umožňují vývoj systému do nějakého požadovaného konečného stavu, správné odpovědi.
- Kvantové logické brány jsou matematicky reprezentovány pomocí transformací matic (lineárních operací) aplikovaných na kvantový registr tenzorováním transformačních matic maticí reprezentující daný registr.
- Všechny matice odpovídající kvantové logické bráně jsou *unitární*<sup>1</sup>.
- Unitární transformace prováděné na jednom qbitu mohou být efektivně vizualizovány na Blochově sféře.
- Tak jako v případě klasických logických bran je i v případě kvantových logických bran zavedena standardní množina používaných bran.

---

<sup>1</sup>Komplexní matice  $U$  je *unitární* právě tehdy, když  $U^{-1} = U^\dagger$ , kde  $U^\dagger$  je matice konjugovaná k matici  $U$  ( $U^\dagger = \overline{U}^T$ ). Navíc platí  $UU^\dagger = U^\dagger U = I$ .



- Klasické logické brány jsou matematicky popsány pomocí Booleovské algebry. Kvantové logické brány fungují na podobném principu.
- Kvantové logické brány aplikované na kvantové registry zobrazují kvantovou superpozici na jinou a společně umožňují vývoj systému do nějakého požadovaného konečného stavu, správné odpovědi.
- Kvantové logické brány jsou matematicky reprezentovány pomocí transformací matic (lineárních operací) aplikovaných na kvantový registr tenzorováním transformačních matic maticí reprezentující daný registr.
- Všechny matice odpovídající kvantové logické bráně jsou *unitární*<sup>1</sup>.
- Unitární transformace prováděné na jednom qbitu mohou být efektivně vizualizovány na Blochově sféře.
- Tak jako v případě klasických logických bran je i v případě kvantových logických bran zavedena standardní množina používaných bran.

---

<sup>1</sup>Komplexní matice  $U$  je *unitární* právě tehdy, když  $U^{-1} = U^\dagger$ , kde  $U^\dagger$  je matice konjugovaná k matici  $U$  ( $U^\dagger = \overline{U}^T$ ). Navíc platí  $UU^\dagger = U^\dagger U = I$ .



- Klasické logické brány jsou matematicky popsány pomocí Booleovské algebry. Kvantové logické brány fungují na podobném principu.
- Kvantové logické brány aplikované na kvantové registry zobrazují kvantovou superpozici na jinou a společně umožňují vývoj systému do nějakého požadovaného konečného stavu, správné odpovědi.
- Kvantové logické brány jsou matematicky reprezentovány pomocí transformací matic (lineárních operací) aplikovaných na kvantový registr tenzorováním transformačních matic maticí reprezentující daný registr.
- Všechny matice odpovídající kvantové logické bráně jsou *unitární*<sup>1</sup>.
- Unitární transformace prováděné na jednom qbitu mohou být efektivně vizualizovány na Blochově sféře.
- Tak jako v případě klasických logických bran je i v případě kvantových logických bran zavedena standardní množina používaných bran.

---

<sup>1</sup>Komplexní matice  $U$  je *unitární* právě tehdy, když  $U^{-1} = U^\dagger$ , kde  $U^\dagger$  je matice konjugovaná k matici  $U$  ( $U^\dagger = \overline{U}^T$ ). Navíc platí  $UU^\dagger = U^\dagger U = I$ .



- Klasické logické brány jsou matematicky popsány pomocí Booleovské algebry. Kvantové logické brány fungují na podobném principu.
- Kvantové logické brány aplikované na kvantové registry zobrazují kvantovou superpozici na jinou a společně umožňují vývoj systému do nějakého požadovaného konečného stavu, správné odpovědi.
- Kvantové logické brány jsou matematicky reprezentovány pomocí transformací matic (lineárních operací) aplikovaných na kvantový registr tenzorováním transformačních matic maticí reprezentující daný registr.
- Všechny matice odpovídající kvantové logické bráně jsou *unitární*<sup>1</sup>.
- Unitární transformace prováděné na jednom qbitu mohou být efektivně vizualizovány na Blochově sféře.
- Tak jako v případě klasických logických bran je i v případě kvantových logických bran zavedena standardní množina používaných bran.

<sup>1</sup>Komplexní matice  $U$  je *unitární* právě tehdy, když  $U^{-1} = U^\dagger$ , kde  $U^\dagger$  je matice konjugovaná k matici  $U$  ( $U^\dagger = \overline{U}^T$ ). Navíc platí  $UU^\dagger = U^\dagger U = I$ .



- *Pauliho brány*  $X$ ,  $Y$  a  $Z$  odpovídají rotaci o úhel  $\pi$  kolem osy  $x$ ,  $y$  či  $z$  respektive.
- Pauliho brána  $X$  přehodí amplitudy  $|0\rangle$  a  $|1\rangle$

$$\boxed{X} = \begin{bmatrix} 0 & 1 \\ 1 & 0 \end{bmatrix}$$

$$\begin{bmatrix} 0 & 1 \\ 1 & 0 \end{bmatrix} |0\rangle = \begin{bmatrix} 0 & 1 \\ 1 & 0 \end{bmatrix} \begin{bmatrix} 1 \\ 0 \end{bmatrix} = \begin{bmatrix} 0 \\ 1 \end{bmatrix} = |1\rangle$$

$$\begin{bmatrix} 0 & 1 \\ 1 & 0 \end{bmatrix} |1\rangle = \begin{bmatrix} 0 & 1 \\ 1 & 0 \end{bmatrix} \begin{bmatrix} 0 \\ 1 \end{bmatrix} = \begin{bmatrix} 1 \\ 0 \end{bmatrix} = |0\rangle$$



- *Pauliho brány*  $X$ ,  $Y$  a  $Z$  odpovídají rotaci o úhel  $\pi$  kolem osy  $x$ ,  $y$  či  $z$  respektive.
- Pauliho brána  $X$  přehodí amplitudy  $|0\rangle$  a  $|1\rangle$

$$\boxed{X} = \begin{bmatrix} 0 & 1 \\ 1 & 0 \end{bmatrix}$$

$$\begin{bmatrix} 0 & 1 \\ 1 & 0 \end{bmatrix} |0\rangle = \begin{bmatrix} 0 & 1 \\ 1 & 0 \end{bmatrix} \begin{bmatrix} 1 \\ 0 \end{bmatrix} = \begin{bmatrix} 0 \\ 1 \end{bmatrix} = |1\rangle$$

$$\begin{bmatrix} 0 & 1 \\ 1 & 0 \end{bmatrix} |1\rangle = \begin{bmatrix} 0 & 1 \\ 1 & 0 \end{bmatrix} \begin{bmatrix} 0 \\ 1 \end{bmatrix} = \begin{bmatrix} 1 \\ 0 \end{bmatrix} = |0\rangle$$



- *Pauliho brány*  $X$ ,  $Y$  a  $Z$  odpovídají rotaci o úhel  $\pi$  kolem osy  $x$ ,  $y$  či  $z$  respektive.
- Pauliho brána  $X$  přehodí amplitudy  $|0\rangle$  a  $|1\rangle$

$$\boxed{X} = \begin{bmatrix} 0 & 1 \\ 1 & 0 \end{bmatrix}$$

- $$\begin{bmatrix} 0 & 1 \\ 1 & 0 \end{bmatrix} |0\rangle = \begin{bmatrix} 0 & 1 \\ 1 & 0 \end{bmatrix} \begin{bmatrix} 1 \\ 0 \end{bmatrix} = \begin{bmatrix} 0 \\ 1 \end{bmatrix} = |1\rangle$$

- $$\begin{bmatrix} 0 & 1 \\ 1 & 0 \end{bmatrix} |1\rangle = \begin{bmatrix} 0 & 1 \\ 1 & 0 \end{bmatrix} \begin{bmatrix} 0 \\ 1 \end{bmatrix} = \begin{bmatrix} 1 \\ 0 \end{bmatrix} = |0\rangle$$



- *Pauliho brány*  $X$ ,  $Y$  a  $Z$  odpovídají rotaci o úhel  $\pi$  kolem osy  $x$ ,  $y$  či  $z$  respektive.
- Pauliho brána  $X$  přehodí amplitudy  $|0\rangle$  a  $|1\rangle$

$$\boxed{X} = \begin{bmatrix} 0 & 1 \\ 1 & 0 \end{bmatrix}$$

- $$\begin{bmatrix} 0 & 1 \\ 1 & 0 \end{bmatrix} |0\rangle = \begin{bmatrix} 0 & 1 \\ 1 & 0 \end{bmatrix} \begin{bmatrix} 1 \\ 0 \end{bmatrix} = \begin{bmatrix} 0 \\ 1 \end{bmatrix} = |1\rangle$$

- $$\begin{bmatrix} 0 & 1 \\ 1 & 0 \end{bmatrix} |1\rangle = \begin{bmatrix} 0 & 1 \\ 1 & 0 \end{bmatrix} \begin{bmatrix} 0 \\ 1 \end{bmatrix} = \begin{bmatrix} 1 \\ 0 \end{bmatrix} = |0\rangle$$





- Nejdůležitější a taky nejpoužívanější binární kvantovou branou je **CNOT**

$$\begin{array}{c} \text{---} \\ \bullet \\ | \\ \oplus \\ \text{---} \end{array} = \begin{bmatrix} 1 & 0 & 0 & 0 \\ 0 & 1 & 0 & 0 \\ 0 & 0 & 0 & 1 \\ 0 & 0 & 1 & 0 \end{bmatrix}$$

- 

$$\begin{bmatrix} 1 & 0 & 0 & 0 \\ 0 & 1 & 0 & 0 \\ 0 & 0 & 0 & 1 \\ 0 & 0 & 1 & 0 \end{bmatrix} |11\rangle = \begin{bmatrix} 1 & 0 & 0 & 0 \\ 0 & 1 & 0 & 0 \\ 0 & 0 & 0 & 1 \\ 0 & 0 & 1 & 0 \end{bmatrix} \begin{bmatrix} 0 \\ 0 \\ 0 \\ 1 \end{bmatrix} = \begin{bmatrix} 0 \\ 0 \\ 1 \\ 0 \end{bmatrix} = |10\rangle$$



- Nejdůležitější a taky nejpoužívanější binární kvantovou branou je **CNOT**

$$\begin{array}{c} \text{---} \\ \bullet \\ | \\ \oplus \\ \text{---} \end{array} = \begin{bmatrix} 1 & 0 & 0 & 0 \\ 0 & 1 & 0 & 0 \\ 0 & 0 & 0 & 1 \\ 0 & 0 & 1 & 0 \end{bmatrix}$$

$$\begin{bmatrix} 1 & 0 & 0 & 0 \\ 0 & 1 & 0 & 0 \\ 0 & 0 & 0 & 1 \\ 0 & 0 & 1 & 0 \end{bmatrix} |11\rangle = \begin{bmatrix} 1 & 0 & 0 & 0 \\ 0 & 1 & 0 & 0 \\ 0 & 0 & 0 & 1 \\ 0 & 0 & 1 & 0 \end{bmatrix} \begin{bmatrix} 0 \\ 0 \\ 0 \\ 1 \end{bmatrix} = \begin{bmatrix} 0 \\ 0 \\ 1 \\ 0 \end{bmatrix} = |10\rangle$$



- Nejdůležitější a taky nejpoužívanější binární kvantovou branou je **CNOT**

$$\begin{array}{c} \text{---} \\ \bullet \\ | \\ \oplus \\ \text{---} \end{array} = \begin{bmatrix} 1 & 0 & 0 & 0 \\ 0 & 1 & 0 & 0 \\ 0 & 0 & 0 & 1 \\ 0 & 0 & 1 & 0 \end{bmatrix}$$

$$\begin{bmatrix} 1 & 0 & 0 & 0 \\ 0 & 1 & 0 & 0 \\ 0 & 0 & 0 & 1 \\ 0 & 0 & 1 & 0 \end{bmatrix} |11\rangle = \begin{bmatrix} 1 & 0 & 0 & 0 \\ 0 & 1 & 0 & 0 \\ 0 & 0 & 0 & 1 \\ 0 & 0 & 1 & 0 \end{bmatrix} \begin{bmatrix} 0 \\ 0 \\ 0 \\ 1 \end{bmatrix} = \begin{bmatrix} 0 \\ 0 \\ 1 \\ 0 \end{bmatrix} = |10\rangle$$

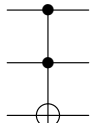


Nejdůležitější a taky nejpoužívanější ternární kvantovou branou je **Toffoliho brána (CCNOT)**


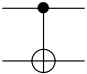

$$= \begin{bmatrix} 1 & 0 & 0 & 0 & 0 & 0 & 0 & 0 \\ 0 & 1 & 0 & 0 & 0 & 0 & 0 & 0 \\ 0 & 0 & 1 & 0 & 0 & 0 & 0 & 0 \\ 0 & 0 & 0 & 1 & 0 & 0 & 0 & 0 \\ 0 & 0 & 0 & 0 & 1 & 0 & 0 & 0 \\ 0 & 0 & 0 & 0 & 0 & 1 & 0 & 0 \\ 0 & 0 & 0 & 0 & 0 & 0 & 0 & 1 \\ 0 & 0 & 0 & 0 & 0 & 0 & 1 & 0 \end{bmatrix}$$

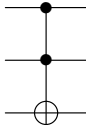


Nejdůležitější a taky nejpoužívanější ternární kvantovou branou je **Toffoliho brána (CCNOT)**


$$= \begin{bmatrix} 1 & 0 & 0 & 0 & 0 & 0 & 0 & 0 \\ 0 & 1 & 0 & 0 & 0 & 0 & 0 & 0 \\ 0 & 0 & 1 & 0 & 0 & 0 & 0 & 0 \\ 0 & 0 & 0 & 1 & 0 & 0 & 0 & 0 \\ 0 & 0 & 0 & 0 & 1 & 0 & 0 & 0 \\ 0 & 0 & 0 & 0 & 0 & 1 & 0 & 0 \\ 0 & 0 & 0 & 0 & 0 & 0 & 0 & 1 \\ 0 & 0 & 0 & 0 & 0 & 0 & 1 & 0 \end{bmatrix}$$



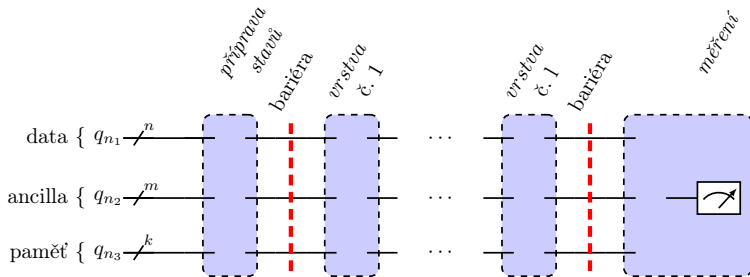
Brána	značení	vstup	výstup
Pauli-X		$ 0\rangle$	$ 1\rangle$
		$ 1\rangle$	$ 0\rangle$
CNOT		$ 00\rangle$	$ 00\rangle$
		$ 01\rangle$	$ 01\rangle$
		$ 10\rangle$	$ 11\rangle$
		$ 11\rangle$	$ 10\rangle$

Brána	značení	vstup	výstup
Toffoli		$ 000\rangle$	$ 000\rangle$
		$ 001\rangle$	$ 001\rangle$
		$ 010\rangle$	$ 010\rangle$
		$ 100\rangle$	$ 100\rangle$
		$ 011\rangle$	$ 011\rangle$
		$ 101\rangle$	$ 101\rangle$
		$ 110\rangle$	$ 111\rangle$
		$ 111\rangle$	$ 110\rangle$



Tři základní vrstvy:

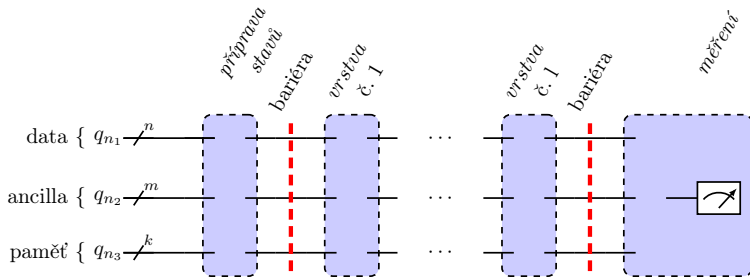
1. kódování dat, která mohou být klasická nebo kvantová, do stavu sady vstupních qubitů,
2. posloupnost kvantových bran aplikovaných na tuto sadu vstupních qubitů,
3. měření jednoho nebo více qubitů na konci pro získání klasicky interpretovatelného výsledku.





Tři základní vrstvy:

1. kódování dat, která mohou být klasická nebo kvantová, do stavu sady vstupních qubitů,
2. posloupnost kvantových bran aplikovaných na tuto sadu vstupních qubitů,
3. měření jednoho nebo více qubitů na konci pro získání klasicky interpretovatelného výsledku.

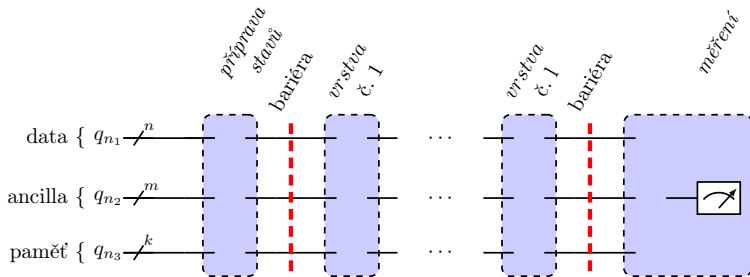






Tři základní vrstvy:

1. kódování dat, která mohou být klasická nebo kvantová, do stavu sady vstupních qubitů,
2. posloupnost kvantových bran aplikovaných na tuto sadu vstupních qubitů,
3. měření jednoho nebo více qubitů na konci pro získání klasicky interpretovatelného výsledku.





- 1 jediný způsob, jak extrahovat informace z  $n$  qubitů v daném stavu,
- 2 proces měření provádí hardware s digitálním displejem, tzv.  $n$ -qubitová měřicí brána,
- 3  $n$ -qubitová měřicí brána je schematicky znázorněna symbolem



- 4 na rozdíl od unitárních bran, které mají jedinečný výstupní stav pro každý vstupní stav, je stav qubitů vycházejících z měřicí brány statisticky určen pouze stavem vstupních qubitů,
- 5 akci měření nelze vrátit zpět: ke konečnému stavu neexistuje způsob, jak rekonstruovat počáteční stav,
- 6 měření je **nevratné**,
- 7 měření není v žádném smyslu lineární,
- 8 říkáme, že stav před měřením se v důsledku měření **redukuje/kolabuje** na stav po měření,
- 9 stav  $n$  qubitů není nic jiného než abstraktní symbol, používaný prostřednictvím Bornova pravidla k výpočtu pravděpodobností výsledků měření.



- 1 jediný způsob, jak extrahovat informace z  $n$  qubitů v daném stavu,
- 2 proces měření provádí hardware s digitálním displejem, tzv.  $n$ -qubitová měřicí brána,
- 3  $n$ -qubitová měřicí brána je schematicky znázorněna symbolem



- 4 na rozdíl od unitárních bran, které mají jedinečný výstupní stav pro každý vstupní stav, je stav qubitů vycházejících z měřicí brány statisticky určen pouze stavem vstupních qubitů,
- 5 akci měření nelze vrátit zpět: ke konečnému stavu neexistuje způsob, jak rekonstruovat počáteční stav,
- 6 měření je **nevratné**,
- 7 měření není v žádném smyslu lineární,
- 8 říkáme, že stav před měřením se v důsledku měření **redukuje/kolabuje** na stav po měření,
- 9 stav  $n$  qubitů není nic jiného než abstraktní symbol, používaný prostřednictvím Bornova pravidla k výpočtu pravděpodobností výsledků měření.



- 1 jediný způsob, jak extrahovat informace z  $n$  qubitů v daném stavu,
- 2 proces měření provádí hardware s digitálním displejem, tzv.  $n$ -qubitová měřicí brána,
- 3  $n$ -qubitová měřicí brána je schematicky znázorněna symbolem



- 4 na rozdíl od unitárních bran, které mají jedinečný výstupní stav pro každý vstupní stav, je stav qubitů vycházejících z měřicí brány statisticky určen pouze stavem vstupních qubitů,
- 5 akci měření nelze vrátit zpět: ke konečnému stavu neexistuje způsob, jak rekonstruovat počáteční stav,
- 6 měření je **nevratné**,
- 7 měření není v žádném smyslu lineární,
- 8 říkáme, že stav před měřením se v důsledku měření **redukuje/kolabuje** na stav po měření,
- 9 stav  $n$  qubitů není nic jiného než abstraktní symbol, používaný prostřednictvím Bornova pravidla k výpočtu pravděpodobností výsledků měření.



- 1 jediný způsob, jak extrahovat informace z  $n$  qubitů v daném stavu,
- 2 proces měření provádí hardware s digitálním displejem, tzv.  $n$ -qubitová měřicí brána,
- 3  $n$ -qubitová měřicí brána je schematicky znázorněna symbolem



- 4 na rozdíl od unitárních bran, které mají jedinečný výstupní stav pro každý vstupní stav, je stav qubitů vycházejících z měřicí brány statisticky určen pouze stavem vstupních qubitů,
- 5 akci měření nelze vrátit zpět: ke konečnému stavu neexistuje způsob, jak rekonstruovat počáteční stav,
- 6 měření je **nevratné**,
- 7 měření není v žádném smyslu lineární,
- 8 říkáme, že stav před měřením se v důsledku měření **redukuje/kolabuje** na stav po měření,
- 9 stav  $n$  qubitů není nic jiného než abstraktní symbol, používaný prostřednictvím Bornova pravidla k výpočtu pravděpodobností výsledků měření.



- 1 jediný způsob, jak extrahovat informace z  $n$  qubitů v daném stavu,
- 2 proces měření provádí hardware s digitálním displejem, tzv.  $n$ -qubitová měřicí brána,
- 3  $n$ -qubitová měřicí brána je schematicky znázorněna symbolem



- 4 na rozdíl od unitárních bran, které mají jedinečný výstupní stav pro každý vstupní stav, je stav qubitů vycházejících z měřicí brány statisticky určen pouze stavem vstupních qubitů,
- 5 akci měření nelze vrátit zpět: ke konečnému stavu neexistuje způsob, jak rekonstruovat počáteční stav,
- 6 měření je **nevratné**,
- 7 měření není v žádném smyslu lineární,
- 8 říkáme, že stav před měřením se v důsledku měření **redukuje/kolabuje** na stav po měření,
- 9 stav  $n$  qubitů není nic jiného než abstraktní symbol, používaný prostřednictvím Bornova pravidla k výpočtu pravděpodobností výsledků měření.



- 1 jediný způsob, jak extrahovat informace z  $n$  qubitů v daném stavu,
- 2 proces měření provádí hardware s digitálním displejem, tzv.  $n$ -qubitová měřicí brána,
- 3  $n$ -qubitová měřicí brána je schematicky znázorněna symbolem



- 4 na rozdíl od unitárních bran, které mají jedinečný výstupní stav pro každý vstupní stav, je stav qubitů vycházejících z měřicí brány statisticky určen pouze stavem vstupních qubitů,
- 5 akci měření nelze vrátit zpět: ke konečnému stavu neexistuje způsob, jak rekonstruovat počáteční stav,
- 6 měření je **nevratné**,
- 7 měření není v žádném smyslu lineární,
- 8 říkáme, že stav před měřením se v důsledku měření **redukuje/kolabuje** na stav po měření,
- 9 stav  $n$  qubitů není nic jiného než abstraktní symbol, používaný prostřednictvím Bornova pravidla k výpočtu pravděpodobností výsledků měření.



- 1 jediný způsob, jak extrahovat informace z  $n$  qubitů v daném stavu,
- 2 proces měření provádí hardware s digitálním displejem, tzv.  $n$ -qubitová měřicí brána,
- 3  $n$ -qubitová měřicí brána je schematicky znázorněna symbolem



- 4 na rozdíl od unitárních bran, které mají jedinečný výstupní stav pro každý vstupní stav, je stav qubitů vycházejících z měřicí brány statisticky určen pouze stavem vstupních qubitů,
- 5 akci měření nelze vrátit zpět: ke konečnému stavu neexistuje způsob, jak rekonstruovat počáteční stav,
- 6 měření je **nevratné**,
- 7 měření není v žádném smyslu lineární,
- 8 říkáme, že stav před měřením se v důsledku měření **redukuje/kolabuje** na stav po měření,
- 9 stav  $n$  qubitů není nic jiného než abstraktní symbol, používaný prostřednictvím Bornova pravidla k výpočtu pravděpodobností výsledků měření.





- 1 jediný způsob, jak extrahovat informace z  $n$  qubitů v daném stavu,
- 2 proces měření provádí hardware s digitálním displejem, tzv.  $n$ -qubitová měřicí brána,
- 3  $n$ -qubitová měřicí brána je schematicky znázorněna symbolem



- 4 na rozdíl od unitárních bran, které mají jedinečný výstupní stav pro každý vstupní stav, je stav qubitů vycházejících z měřicí brány statisticky určen pouze stavem vstupních qubitů,
- 5 akci měření nelze vrátit zpět: ke konečnému stavu neexistuje způsob, jak rekonstruovat počáteční stav,
- 6 měření je **nevratné**,
- 7 měření není v žádném smyslu lineární,
- 8 říkáme, že stav před měřením se v důsledku měření **redukuje/kolabuje** na stav po měření,
- 9 stav  $n$  qubitů není nic jiného než abstraktní symbol, používaný prostřednictvím Bornova pravidla k výpočtu pravděpodobností výsledků měření.



- 1 jediný způsob, jak extrahovat informace z  $n$  qubitů v daném stavu,
- 2 proces měření provádí hardware s digitálním displejem, tzv.  $n$ -qubitová měřicí brána,
- 3  $n$ -qubitová měřicí brána je schematicky znázorněna symbolem



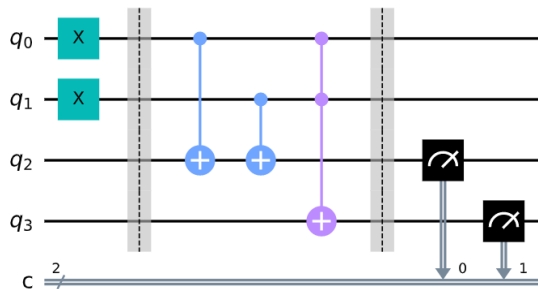
- 4 na rozdíl od unitárních bran, které mají jedinečný výstupní stav pro každý vstupní stav, je stav qubitů vycházejících z měřicí brány statisticky určen pouze stavem vstupních qubitů,
- 5 akci měření nelze vrátit zpět: ke konečnému stavu neexistuje způsob, jak rekonstruovat počáteční stav,
- 6 měření je **nevratné**,
- 7 měření není v žádném smyslu lineární,
- 8 říkáme, že stav před měřením se v důsledku měření **redukuje/kolabuje** na stav po měření,
- 9 stav  $n$  qubitů není nic jiného než abstraktní symbol, používaný prostřednictvím Bornova pravidla k výpočtu pravděpodobností výsledků měření.



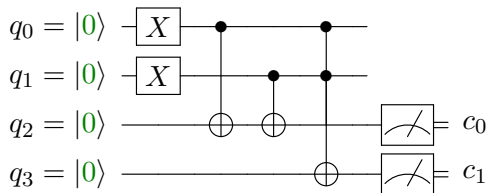
- 1 jediný způsob, jak extrahovat informace z  $n$  qubitů v daném stavu,
- 2 proces měření provádí hardware s digitálním displejem, tzv.  $n$ -qubitová měřicí brána,
- 3  $n$ -qubitová měřicí brána je schematicky znázorněna symbolem

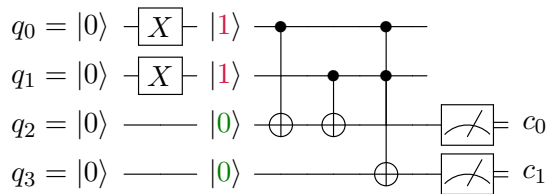


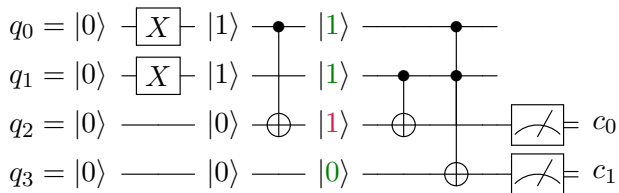
- 4 na rozdíl od unitárních bran, které mají jedinečný výstupní stav pro každý vstupní stav, je stav qubitů vycházejících z měřicí brány statisticky určen pouze stavem vstupních qubitů,
- 5 akci měření nelze vrátit zpět: ke konečnému stavu neexistuje způsob, jak rekonstruovat počáteční stav,
- 6 měření je **nevratné**,
- 7 měření není v žádném smyslu lineární,
- 8 říkáme, že stav před měřením se v důsledku měření **redukuje/kolabuje** na stav po měření,
- 9 stav  $n$  qubitů není nic jiného než abstraktní symbol, používaný prostřednictvím Bornova pravidla k výpočtu pravděpodobností výsledků měření.

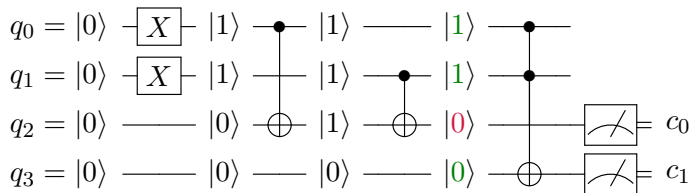


Vstup	Výstup
$ 00\rangle$	$ 00\rangle$
$ 01\rangle$	$ 01\rangle$
$ 10\rangle$	$ 01\rangle$
$ 11\rangle$	$ 10\rangle$

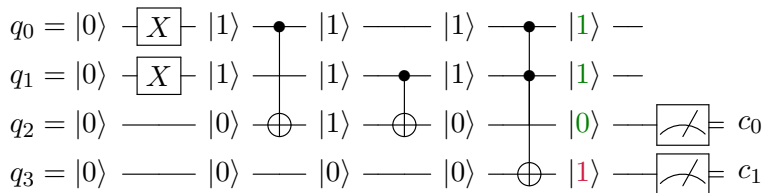


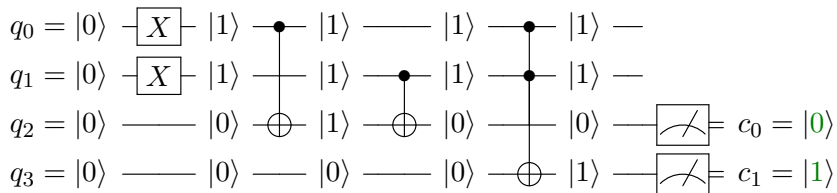















### *Kvantová superpozice stavů*

- základní princip kvantové mechaniky
- každé dva (a více) kvantové stavy lze kombinovat (superponovat)
- vzniká nový kvantový stav

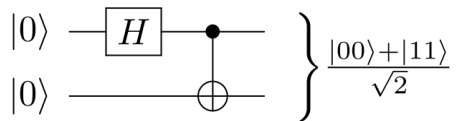
Brána	značení	vstup	výstup
Hadamard		$ 0\rangle$	$\frac{1}{\sqrt{2}}( 0\rangle +  1\rangle)$
		$ 1\rangle$	$\frac{1}{\sqrt{2}}( 0\rangle -  1\rangle)$

50% pravděpodobnost, že na výstupu bude naměřena hodnota  $|0\rangle$

50% pravděpodobnost, že na výstupu bude naměřena hodnota  $|1\rangle$



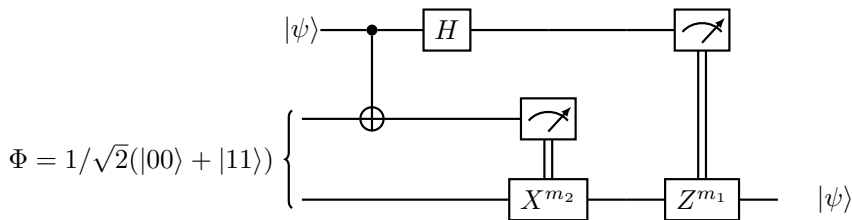
Jednoduchý kvantový obvod, který vytváří *provázanost* dvou qubitů



výstup tohoto obvodu nelze rozdělit na jednotlivé základní stavy  $|0\rangle$  a  $|1\rangle$



Kvantový obvod reprezentující teleportaci kvantového stavu



Děkujeme za pozornost

Marek Lampart

VŠB – Technická Univerzita Ostrava

marek.lampart@vsb.cz

18. ledna, 2023

 VŠB TECHNICKÁ  
UNIVERZITA  
OSTRAVA

FAKULTA  
ELEKTROTECHNIKY  
A INFORMATIKY

KATEDRA  
APLIKOVANÉ  
MATEMATIKY